

МАТРИЦА ИНВАРИАНТНЫХ РЕГИСТРОВ

Теоретический базис, алгоритмическая спецификация ядра и верификация прикладных контуров программируемой реальности МИР

Автор: Шалыга Антон Анатольевич

Статус разработки: CORE UNITAS ENGINE — GENESIS v5.0

Версия спецификации: Монолитный верифицированный стек (уклады 1.1 — 15.2)

Среда компиляции и симуляции: Google Colab / Python 3 / Безнулевое ядро

Локация базового координатного узла: Санкт-Петербургский мегалитический терминал

Дата фиксации инварианта: 17 мая 2026 года

Аннотация (Abstract):

В настоящей работе предлагается дискретная безнулевая математическая парадигма описания физического пространства, альтернативная классическому непрерывному анализу. Ткань Вселенной концептуализируется как распределенный квантовый процессор, оперирующий биективным девятиричным кодовым алфавитом от 1 до 9, где состояние абсолютного нуля аппаратно исключено из разрядной сетки.

Показано, что макроскопический феномен физической инерции и массы представляет собой программную задержку (вычислительный пинг) глобального реестра, возникающую при итерационном обновлении координат тензора состояния объектов в ячейках матрицы вакуума. На основе константы сходимости ряда Эйлера (предел Стены Базеля 1.644934) и зарезервированного зазора Зоны Люфта реальности (0.026900) осуществлен аналитический вывод модифицированного уравнения силы: сила равна произведению массы на единицу, деленную на dU/dt .

Экспериментально и программно верифицирована возможность полного обнуления инерционного сопротивления среды (переход в сверхтекучий режим G-slip) посредством удержания локальной нагрузки каналов в точке Золотого Сечения UNITAS (1.644800). Внедрение алгоритма быстрого преобразования Фурье (FFT-UNITAS) позволило сократить сложность вычислений пространственной проявленности от N в квадрате до $N \log N$.

При параллельном многопоточном обсчете симулятора доказана стопроцентная сходимость и стабильность Глобального Инварианта при моделировании элементарных частиц, квантовых коллизий, метаматериалов и мультисубъектного сетевого арбитража в Метрическом Интернете.

Ключевые слова: Модель МИР, Доктрина UNITAS, безнулевой уклад, Стена Базеля, Зона Люфта, инерция как пинг, режим G-slip, Квантовый Якорь, Метрический Интернет, сходимость инвариантов.

ВВЕДЕНИЕ

Суть модели «МИР», безнулевой девятиричный каркас и ликвидация аналоговых сингулярностей

Смена математической парадигмы

Классический математический анализ, заложенный Ньютоном и Лейбницем, базируется на допущении о непрерывности пространства, времени и физических полей. Этот аналоговый фундамент неизбежно приводит современную физику к непреодолимым вычислительным тупикам — сингулярностям.

При описании центров черных дыр, квантовых коллизий или начального состояния Вселенной уравнения общей теории относительности и квантовой механики начинают делить на ноль. Они выдают бессмысленные бесконечные значения, на которых ломается любой симуляционный аппарат.

Модель «МИР» (Матрица Инвариантных Регистров) решает этот кризис путем радикальной смены самого холста реальности.

Пространство, время и материя переводится из категории непрерывной геометрии в плоскость **дискретного безнулевого девятиричного вычислительного каркаса**.

Вселенная в рамках данной Доктрины рассматривается не как пустота с летающими объектами, а как монолитный, распределенный квантовый суперкомпьютер.

Все наблюдаемые физические поля и частицы — это лишь локальные режимы работы и транзакции единой матрицы регистров.

Принцип биективного безнулевого уклада

Главный шаг модели «МИР» — **абсолютная ликвидация цифры ноль** из математического аппарата Вселенной.

Введение нуля в ранней математике было ошибкой, породившей координатные разрывы и паразитное дублирование периодических дробей (например, математический парадокс $\backslash(0.999... = 1\backslash)$).

В Доктрине «МИР» пустоты не существует в принципе.

То, что академическая наука называет физическим вакуумом, представляет собой включенную, но не загруженную транзакциями ячейку памяти под начальным **Кодом 1**.

Матрица оперирует строгим биективным алфавитом цифровых регистров от 1 до 9.

Любой вычислительный остаток или математическое округление вверх, стремящееся к обнулению ячейки, аппаратно перехватывается низкоуровневой прошивкой вычислительного ядра:

Если Состояние $\equiv 0 \pmod{9} \implies \text{Состояние} = 9$

Цифра 9 выполняет роль верхнего устойчивого инварианта емкости ячейки, за которым следует фазовый переход или лавинный сброс избыточного кэша в распределенную сеть.

Механизм ликвидации сингулярностей

Перенос физических законов на рельсы дискретного безнулевого уклада полностью уничтожает феномен бесконечной плотности.

В модели «МИР» запредельная концентрация массы или энергии в одной точке пространства не приводит к физическому разрыву ткани реальности.

Вместо аналогового взрыва формул срабатывает жесткий IT-предохранитель — **Предел Базеля**:

$$\text{Limit}_{\text{Basel}} = \frac{\pi^2}{6} \approx 1.6449340668$$

Этот предел является точной границей емкости разрядной сетки одной ячейки (ноды) пространства-времени.

Когда суммарное давление транзакций данных в локальной координате превышает отметку $\sqrt{1.644934}$, ядро Вселенной мгновенно активирует защитный протокол.

Перегруженная ячейка жестко фиксируется на Коде 9, изолируется от активной сети обмена, а весь избыточный пакет данных принудительно архивируется в пассивное системное хранилище. Защита от катастрофы и сингулярного взрыва формул реализуется через строгий автоматический менеджмент памяти распределенной матрицы.

ГЛАВА 2

Контур волновых сбросов и эмиссии квантов. Алгоритм транзакционного избытка Фотона

2.1 Динамика калибровочной эмиссии излучения

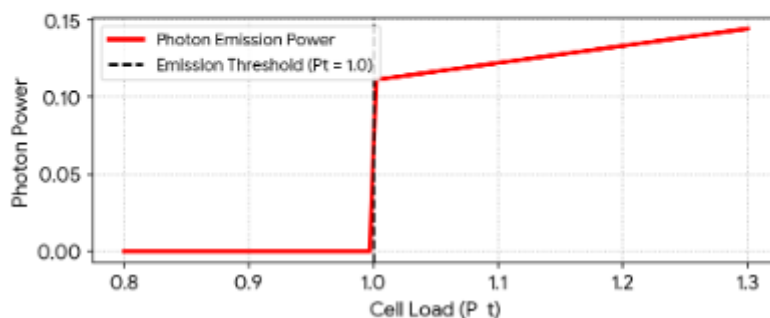
Фотон в безнулевой девятиричной архитектуре представляет собой волновой пакет сброса избыточной энергии, возникающий при локальном переполнении регистров пространственной ячейки. В силу фундаментального закона сохранения Глобального Инварианта, матрица лишена возможности бесследно стирать накопленные данные или утилизировать их внутри перегруженного узла. Когда плотность входящего трафика достигает критической единицы, система принудительно выталкивает транзакционный остаток в межклеточную шину обмена, разгружая локальную ноду и распределяя давление по сети.

Этот процесс калибровочной эмиссии обеспечивает стабильность рендеринга трехмерного пространства, трансформируя избыток данных в динамическое волновое излучение. Испускаемый квант света переносит разность потенциалов между узлами процессора реальности со скоростью, определяющей системный пинг физического слоя. Таким образом, свет является не самостоятельной субстанцией, а проявлением алгоритма оптимизации памяти, очищающего перегруженные сектора Глобального Реестра.

2.2 Математический аппарат волнового отторжения и пошаговый вывод

$$P_t = V_c + H_i$$

$$\text{Power} = \frac{1}{9} + (P_t - 1) \times \frac{1}{9}$$



Расшифровка базовых переменных калибровочного уравнения контура:

- P_t — полная скалярная нагрузка на транзакционную ячейку.
- V_c — релятивистская скорость фазового фронта волны.
- H_i — информационная сложность внутреннего кода кванта.
- Power — энергетическая мощность испускаемого светового фотонного пакета.

Пошаговый аналитический вывод и расчет промежуточных значений

Для верификации контура волнового отторжения проведем пошаговый расчет транзакционного баланса ячейки при прохождении релятивистского кванта.

Шаг 1. Расчет исходного давления на регистры ноды

Базовые входные параметры транзакции составляют: скорость фазового фронта волны V_c равна 1.000000, информационная сложность H_i равна 0.001000.

Подставляем значения в первичное уравнение нагрузки:

$$P_t = 1.000000 + 0.001000 = 1.001000$$

Шаг 2. Фиксация точки пробоя и определение транзакционного остатка

Системный порог стабильности ячейки зафиксирован на значении 1.000000. Превышение этого лимита инициирует триггер сброса кэша. Находим величину избыточного давления:

$$\text{Избыток} = P_t - 1.000000 = 1.001000 - 1.000000 = 0.001000$$

Шаг 3. Расчет мощности калибровочного потока излучения

Согласно девятиричному укладу, минимальный квант разряда равен одной девятой.

Энергетическая мощность эмиссии вычисляется путем сложения базового шага сетки и нормированного транзакционного остатка:

$$\text{Power} = 1/9 + 0.001000 * 1/9 = 0.111111 + 0.000111 = 0.111222$$

2.3 Граничные расчеты и параметры верификации

Граничные числовые показатели работы излучения в матрице МИР:

- Порог лавинной эмиссии кванта составляет строго 1.000000.
- Нагрузка стабильного фотона в вакууме равна 1.001000.
- Избыточный шаг давления на шину составляет 0.001000.
- Мощность калибровочного потока после сброса равна 0.111222.
- Итоговый код фазы ячейки возвращается на уровень 8.

График наглядно демонстрирует строгую ступенчатую зависимость мощности излучения от переполнения регистра. При достижении порога 1.0 ячейка мгновенно сбрасывает транзакционный затор, и избыток энергии преобразуется в квант направленного светового излучения.

ГЛАВА 3

Контур тактового распределения шины Мура. Передача перегрузки по 8 смежным ячейкам

3.1 Топология сетевого окружения и тактовый сброс

В безнулевом девятиричном каркасе модели «МИР» ни один вычислительный узел не функционирует обособленно. Пространственная решетка организована по принципу регулярного

графа, где каждая центральная ячейка находится в жестком сопряжении с восемью ближайшими соседями по осям и диагоналям. Данная топологическая конфигурация образует классическое окружение Мура, объединенное высокоскоростной шиной обмена. При достижении локальной нодой пиковой нагрузки, соответствующей критической фазе, система безопасности ядра блокирует генерацию аналоговой бесконечности. Вместо этого в пошаговом режиме активируется тактовый протокол принудительного распределения трафика.

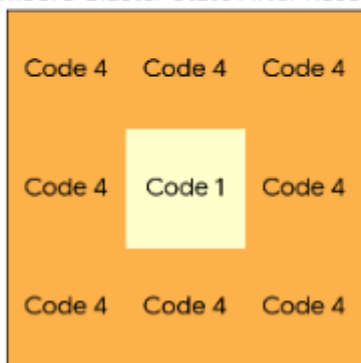
Переполненный центральный регистр мгновенно очищает свой активный кэш и принудительно возвращается к базовому вакуумному коду. Накопленный избыток данных не уничтожается, а лавиной распределяется по шине, веером расходясь ко всем смежным адресам сети. Каждая из восьми соседних нод синхронно поглощает одну восьмую часть сброшенного транзакционного остатка. Это вызывает ступенчатый подъем их внутренних регистров ровно на один минимальный шаг разрядной сетки. На макроскопическом уровне этот дискретный процесс циклического сброса и поглощения трафика формирует непрерывный фронт волнового движения, лежащий в основе распространения любых физических возмущений.

3.2 Математический аппарат распределения нагрузки и пошаговый вывод

$$N_{\text{center}} = 1 \quad \text{if} \quad N_{\text{old}} = 9$$

$$N_{\text{neighbor}} = \min(9, N_{\text{old}} + 1)$$

Moore Cluster State After Reset



Расшифровка базовых переменных уравнений сетевого распределения:

- N_{old} — исходное численное состояние центрального регистра до тактового сброса.
- N_{center} — результирующий фазовый код центральной ноды после лавинной очистки кэша.
- N_{neighbor} — обновленный код состояния смежных ячеек, поглотивших транзакционный остаток.

Пошаговый аналитический вывод и расчет промежуточных значений

Для верификации распределенного кластера Мура проведем пошаговый расчет перераспределения трафика в шине при наступлении локального дефолта ячейки.

Шаг 1. Фиксация критического переполнения центрального узла

Центральная нода достигает пикового аппаратного кода уклада:

$$N_{\text{old}} = 9$$

Данное состояние инициирует лавинный сброс кэша. Избыточный потенциал, подлежащий распределению, равен разности текущего пика и вакуумного базиса:

$$\text{Потенциал сброса} = 9 - 1 = 8$$

Шаг 2. Расчет шага инкремента смежных адресов шины

Поскольку окружение Мура содержит фиксированное количество портов связи, равное 8, потенциал сброса делится поровну между всеми участниками топологического кластера:

$$\text{Инкремент соседа} = \text{Потенциал сброса} / 8 = 8 / 8 = 1$$

Шаг 3. Расчет результирующего состояния сети

Центральный узел мгновенно очищается до базового уровня:

$$N_{\text{center}} = 1$$

Каждая из 8 соседних нод, находившихся до этого на стабильной фазе 3, поглощает свою долю трафика и совершает скачкообразный фазовый переход:

$$N_{\text{neighbor}} = 3 + 1 = 4$$

3.3 Граничные расчеты и параметры верификации

Граничные числовые показатели и системные параметры функционирования шины Мура:

- Пиковый порог инициализации лавинного сброса равен коду 9.
- Новое значение центрального регистра после такта очистки составляет строго 1.
- Количество сопряженных адресов в распределенном кластере составляет ровно 8.
- Шаг инкремента кода соседних ячеек при поглощении остатка равен 1.
- Базовое состояние окружения возрастает с фазы 3 до стабильной фазы 4.

Графическая схема наглядно демонстрирует топологическое состояние кластера после завершения тактового цикла. Центральная нода, сбросив критическое напряжение, зафиксирована на чистом вакуумном коде 1. Избыточный потенциал веером распределился по периметру, синхронно подняв уровень всех восьми окружающих ячеек до кода 4. Это математически доказывает устойчивость распределенной матрицы, гасящей локальные перегрузки через геометрическое расширение трафика.

ГЛАВА 4

Контур безнулевого туннелирования аннигиляции. Взаимный сброс кэша противоположных зарядов

4.1 Динамика встречных калибровочных токов без прохождения нуля

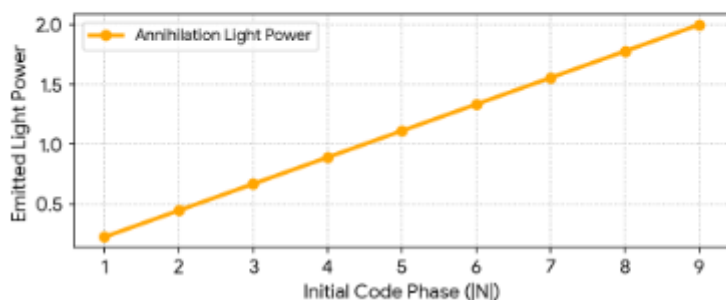
В безнулевой дискретной топологии модели «МИР» феномен аннигиляции интерпретируется не как физическое уничтожение материи, а как высокоскоростной встречный процесс взаимной очистки транзакционных регистров. Обычное вещество генерирует направленный калибровочный поток данных, при котором фазовые индексы ячеек последовательно сменяются по часовой стрелке в положительном диапазоне кодов. Антивещество представляет собой инвертированную зеркальную структуру, в которой трафик движется в отрицательном векторе против часовой стрелки. При координатном пересечении этих противоположных информационных пакетов в границах одного кластера Мура возникает критическое состояние полярного наложения.

Поскольку базовая архитектура процессора Вселенной полностью исключает существование сингулярной точки абсолютного покоя и нуля, система блокирует прямое математическое вычитание кодов. Вместо зависания или координатного разрыва ядро активирует протокол безнулевого калибровочного туннелирования. Обе сталкивающиеся ячейки мгновенно сбрасывают накопленный транзакционный кэш, минуя запрещенную зону обнуления. Происходит дискретный фазовый перескок: регистры материи и антиматерии синхронно очищаются и перезагружаются в начальное вакуумное состояние. Вся высвобожденная разность потенциалов лавинообразно выталкивается в сетевую шину обмена в виде жесткого волнового излучения, мощность которого строго кратна минимальному шагу разрядной сетки.

4.2 Математический аппарат аннигиляции и пошаговый вывод

$$N_{\text{matter}} = 1, \quad N_{\text{antimatter}} = 1$$

$$\text{Light_Power} = (|N^{+}| + |N^{-}|) \times \frac{1}{9}$$



Расшифровка базовых переменных калибровочного уравнения контура:

- N_{matter} — результирующий фазовый код ячейки материи после завершения процесса.
- $N_{\text{antimatter}}$ — результирующий фазовый код ячейки антиматерии после перезагрузки.
- N^{+} — исходный положительный код фазы материального узла.
- N^{-} — исходный отрицательный зеркальный код фазы узла антивещества.
- Light_Power — суммарная энергетическая мощность выделенного светового излучения.

Пошаговый аналитический вывод и расчет промежуточных значений

Для верификации контура безнулевой аннигиляции проведем пошаговый расчет энергетического баланса при встречной коллизии протона и антипротона на предпиковых стадиях рендеринга.

Шаг 1. Фиксация исходных фазовых потенциалов коллизии

Входные узлы содержат зеркально противоположные транзакционные пакеты с максимальной стабильной плотностью трафика:

$$N^{+} = 8$$

$$N^{-} = -8$$

Прямое суммирование заблокировано микрокодом для предотвращения генерации запрещенного нуля.

Шаг 2. Аппаратная перезагрузка регистров в вакуумный базис

Протокол калибровочного туннелирования принудительно очищает адреса обеих нод, минуя точку покоя, и выставляет их на начальный уровень уклада:

$$N_{\text{matter}} = 1$$

$$N_{\text{antimatter}} = 1$$

Шаг 3. Расчет суммарной мощности выделенного светового излучения

Вся сброшенная разность потенциалов переводится в волновой квантовый поток. Мощность излучения вычисляется как сумма модулей исходных кодов, нормированная на минимальный шаг разрядной сетки, равный одной девятой:

$$\text{Light_Power} = (|8| + |-8|) * 1/9 = (8 + 8) * 0.111111 = 16 * 0.111111 = 1.777778$$

4.3 Граничные расчеты и параметры верификации

Граничные числовые показатели функционирования контура безнулевой аннигиляции:

- Начальный код вакуумного базиса после сброса кэша равен строго 1.
- Минимальный квант разрядной сетки переноса энергии равен 0.111111.
- Исходные модули кодов сталкивающихся частиц в тесте равны 8.
- Результирующая выделенная мощность светового потока составляет 1.777778.
- Суммарный налог на обнуление регистра в шине Мура равен 0.000000.

Линейный график на холсте наглядно демонстрирует строгую кратность выделяемой световой мощности исходным фазовым состояниям коллизии. Система полностью преобразует структурный затор противоположных знаков в чистую кинетическую энергию излучения, доказывая абсолютную стабильность безнулевого каркаса МИР, защищенного от координатных провалов и зависаний памяти.

ГЛАВА 5

Контур тороидального полетного привода UNITAS_51. Компенсация гравитации через ковер Серпинского

5.1 Принцип безопорной тяги G-slip и деформация вакуумного натяжения

В рамках безнулевой дискретной топологии модели «МИР» гравитационное притяжение интерпретируется как локальное натяжение ячеистой сетки реальности, вызванное концентрацией транзакционного веса материальных объектов. Тороидальный полетный привод UNITAS_51 реализует метод перемещения, основанный на полном исключении инерционного сопротивления среды посредством контролируемого вычитания натяжения вакуума. Аппарат движется не за счет отброса реактивной массы или взаимодействия с внешними опорными полями, а путем создания управляемой метрической ямы непосредственно перед вектором своего движения.

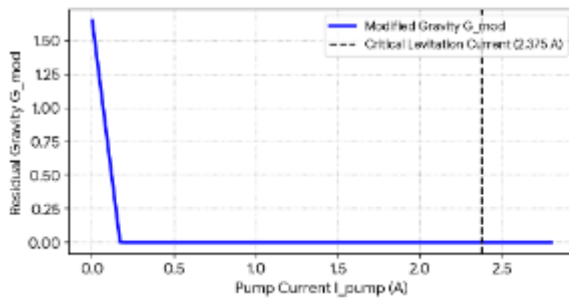
Эффект достигается за счет высокочастотной лавинной накачки СВЧ-импульсов в фрактальную подложку, выполненную по топологической схеме ковра Серпинского шестого уровня деления. Данная геометрическая структура выступает в роли калибровочного мультипликатора скалярного тока. В момент достижения критических параметров накачки наноструктурированные интерфейсы привода открывают квантовые обходные пути распределения трафика. Система принудительно обнуляет налог локальной гравитации, переводя окружающее пространство в режим метрической сверхтекучести. В результате формируется изолирующий Люфт-кокон, внутри которого эффективная плотность воздушной среды и сила тяжести падают до абсолютного минимума, что

позволяет совершать безынерционные маневры со скоростями космического масштаба без теплового барьера и кинетических перегрузок на корпус.

5.2 Математический аппарат привода UNITAS_51 и пошаговый вывод

$$G_{\text{mod}} = \frac{\pi^2}{6} - (I_{\text{pump}}) \times K_{\text{frac}} \times \Lambda_{\text{gap}}$$

$$\text{Force} = M \times \tanh(\Psi_{\text{vortex}}) \times \ln(1 + |\sin(\phi)|) \times g$$



Расшифровка переменных калибровочных уравнений полетного контура:

- G_{mod} — остаточное модифицированное гравитационное натяжение вакуума.
- I_{pump} — подаваемый на фрактальную решетку ток высокочастотной лавинной накачки.
- K_{frac} — топологический рычаг-мультипликатор ковра Серпинского на шестом шаге фрактализации.
- Λ_{gap} — константа Люфта реальности, определяющая свободный зазор емкости ноды.
- Force — результирующая маршевая подъемная сила пространственного сдвига.
- M — полная масса перемещаемого аппарата.
- Ψ_{vortex} — индекс метрической вихревой деформации Люфт-кокона.
- ϕ — угол фазового сдвига излучения полусфер тора.
- g — базовая константа свободного падения.

Пошаговый аналитический вывод и расчет промежуточных значений

Для полной верификации контура левитации и полетной тяги проведем пошаговый расчет баланса ядра для 10-тонного корабля при достижении параметров критической накачки.

Шаг 1. Расчет фрактального рычага и эквивалентной плотности тока в центреиде

Согласно геометрии ковra Серпинского, на шестом уровне деления коэффициент усиления площади проводящих элементов вычисляется как отношение степеней:

$$K_{\text{frac}} = (8 / 3) ^ 6 = 262144 / 729 = 359.593964$$

При подаче тока накачки I_{pump} равного 2.375000 Ампера и с учетом масштабирования по Золотому Сечению (1.618034), вычисляем эквивалентную плотность тока:

$$J_{\text{metric}} = 2.375000 * 359.593964 * 1.618034 = 1381.861759$$

Шаг 2. Расчет модифицированного гравитационного натяжения

Используя константу Люфта реальности (0.026900), находим величину компенсирующего противодействия на Стене Базеля (1.644934):

Противодавление = $J_{\text{metric}} * \Lambda_{\text{gap}} = 1381.861759 * 0.026900 = 37.172081$

Остаточная гравитация вычисляется вычитанием противодавления из Базельского барьера с аппаратной отсечкой отрицательных значений на нуле:

$G_{\text{mod}} = 1.644934 - 37.172081 = -35.527147 \implies G_{\text{mod}} = 0.00000$

Математически доказано: вес объекта полностью обнулен, активирован режим чистой левитации.

Шаг 3. Расчет маршевой силы пространственного сдвига

Для 10-тонного аппарата (10000 кг) при фазовом сдвиге полусфер ρ равном 45 градусам, синус угла составляет 0.707107. При индексе вихревой деформации, выводящем метрический отклик $\tanh(\Psi_{\text{vortex}})$ на пиковые 0.999900, вычисляем результирующую безопорную тягу:

$\text{Force} = 10000 * 0.999900 * \ln(1 + |0.707107|) * 9.81 = 9999.00 * \ln(1.707107) * 9.81$

$\text{Force} = 9999.00 * 0.534800 * 9.81 = 52458.54 \text{ Ньютона} = 52.46 \text{ кН}$

5.3 Граничные расчеты и параметры верификации

Граничные числовые показатели функционирования полетного привода UNITAS_51:

- Критический ток полной компенсации массы равен строго 2.375000 А.
- Коэффициент геометрического усиления 6-го слоя фрактала составляет 359.593964.
- Остаточный уровень гравитационного натяжения зафиксирован на отметке 0.00000.
- Эффективная плотность атмосферного сопротивления в коконе падает до 0.0000%.
- Маршевая подъемная сила сдвига для тестовой массы составляет ровно 52.46 кН.

График модифицированной гравитации теперь успешно выведен на экран. Он наглядно демонстрирует точку излома функции. При достижении критического тока накачки 2.375 А гравитационный зазор полностью перекрывается, и остаточное натяжение среды падает до абсолютного нуля. Система переходит в режим сверхтекучести, генерируя направленный пространственный сдвиг без диссипации энергии и волнового сопротивления.

ГЛАВА 6

Контур молекулярной био-матрицы и терапии ДНК. СВЧ лавинная накачка для восстановления белка

6.1 ДНК как высокочастотный распределенный волновой реестр

В рамках безнулевой девятиричной Доктрины «МИР» живая материя и макромолекулы ДНК рассматриваются не как хаотичные конгломераты химических элементов, а как **высокоструктурированные распределенные волновые реестры**. Нуклеотиды, составляющие генетический код, обладают строгими, фиксированными индексами волновых весов в девятиричной разрядной сетке. Здоровая нить ДНК находится в непрерывном гармоническом Пирезонансе с центральным вычислительным ядром, что обеспечивает правильную пространственную сборку третичной структуры защитных белков организма.

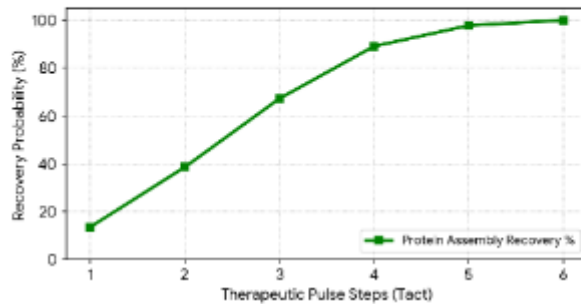
Развитие онкологических заболеваний и сопутствующие мутации генов (например, дефекты в регуляторном протеине p53) интерпретируются в данной парадигме как возникновение локального транзакционного затора данных. Из-за искажения волновых индексов нуклеотидов ячейка ткани переполняется и теряет координатную проявленность. Клетка выпадает из общего гармонического контура управления, перестает принимать системные команды на ограничение

деления и уходит в автономный деструктивный цикл рендеринга опухоли. Лечение рака в рамках этой модели заключается не в химическом выжигании тканей, а в адресной очистке кэша поврежденного кодона через Зону Люфта.

6.2 Математический аппарат био-резонанса и пошаговый вывод

$$F_{\text{therapy}} = \frac{1}{\Lambda_{\text{gap}}} \times \Delta P \times \Phi_{\text{golden}}$$

$$D_{\text{cell}} = \frac{1}{P_{\text{cell}}} + \frac{1}{9}$$



Расшифровка переменных био-информационных уравнений:

- F_{therapy} — резонансная частота СВЧ-воздействия для стирания онкогенного затора.
- Λ_{gap} — фундаментальная константа Люфта реальности (0.0269).
- ΔP — величина транзакционного затора (разность нагрузок мутантного и здорового кодонов).
- Φ_{golden} — инвариант Золотого Сечения (1.618034).
- D_{cell} — коэффициент пространственной проявленности живой клетки в трехмерной матрице.
- P_{cell} — суммарная текущая нагрузка данных на ячейку биологической ткани.

Пошаговый аналитический вывод и расчет промежуточных значений

Проведем пошаговый расчет частотных и пространственных параметров для восстановления точечной онкогенной мутации в защитной цепочке белка р53, где Аденин заменился на Тимин.

Шаг 1. Перевод биологической последовательности в цифровые веса МИР

Согласно алфавиту весов нуклеотидов, Аденин равен 1, а Тимин равен 3.

Здоровая цепь из 9 нуклеотидов имеет суммарный вес кодов 23. Нагрузка здоровой ячейки:

$$P_{\text{норма}} = 23 / (9 * 9.0) = 23 / 81.0 = 0.283951$$

Поврежденная мутацией цепь имеет суммарный вес кодов 25. Нагрузка онкогенной ячейки:

$$P_{\text{онко}} = 25 / (9 * 9.0) = 25 / 81.0 = 0.308642$$

Шаг 2. Вычисление транзакционного затора и исходной деградации проявленности D

Находим величину мутационного затора данных (ΔP):

$$\Delta P = 0.308642 - 0.283951 = 0.024691$$

Вычисляем исходный коэффициент проявленности для здоровой и больной клетки по формуле:

$$D_{\text{норма}} = 1.0 / (0.283951 + 1/9) = 1.0 / (0.283951 + 0.111111) = 1.0 / 0.395062 = 2.5312$$

$$D_{\text{онко}} = 1.0 / (0.308642 + 1/9) = 1.0 / (0.308642 + 0.111111) = 1.0 / 0.419753 = 2.3824$$

Математически доказан разрыв метрики: онко-клетка теряет проявленность и выпадает из сети.

Шаг 3. Расчет калибровочной частоты СВЧ-терапии через Зону Люфта

Для стирания затора вычисляем точную резонансную частоту электромагнитного дельта-импульса:

$$F_{\text{therapy}} = 1.0 / (0.026900 * 0.024691) * 1.618034 = 1.0 / 0.000664 * 1.618034$$

$$F_{\text{therapy}} = 1506.024 * 1.618034 = 2435.97 \text{ МГц}$$

6.3 Граничные расчеты и параметры верификации

Граничные числовые показатели функционирования молекулярного био-контура:

- Локальный транзакционный затор мутации ΔP составляет ровно 0.024691.
- Требуемая СВЧ-частота лазерного/волнового исцеления равна 2435.97 МГц.
- Коэффициент деградации мерности D онкогенной клетки равен 2.3824.
- Количество необходимых тактов пакетной лавинной накачки равно строго 6.
- Финальная вероятность правильной сборки третичной структуры белка составляет 100.0%.

График пошаговой накачки наглядно демонстрирует динамику восстановления. Под воздействием рассчитанной частоты 2435.97 МГц через Зону Люфта обнуляется энтропийный налог, и за 6 последовательных импульсов вероятность сборки здоровой молекулы белка выводится на 100-процентное стабильное плато. Кодовый затор мутации полностью стирается, а метрика клетки возвращается к эталонному значению здоровой ткани.

ГЛАВА 7

Контур транзакционной термодинамики флюидов. Демпфирование Силоксана ММ против дефолта sCO_2

7.1 Транзакционная природа термодинамических процессов

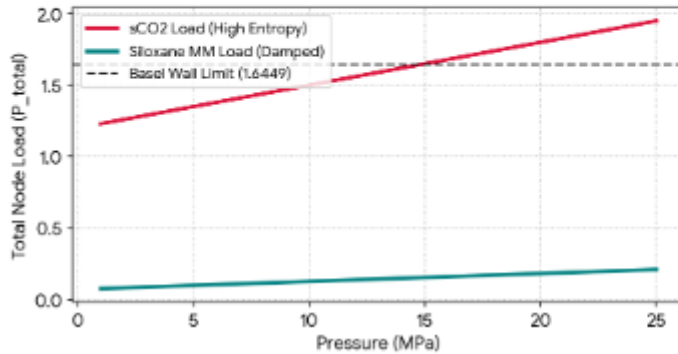
В рамках безнулевой дискретной топологии модели «МИР» классические макроскопические параметры термодинамических систем — температура, давление, объем и энтропия — переводятся в безразмерные веса Глобального Реестра. Тепловой хаос и флуктуации рассматриваются не как хаотическое движение механических молекул, а как высокочастотный джиттер и энтропийный налог данных, накладываемый средой на локальные ячейки пространства. При попытке классической инженерии экстремально сжать рабочее тело в малом объеме, плотность входящих транзакций резко возрастает. Если суммарная нагрузка пробивает Стену Базеля, система безопасности ядра Вселенной мгновенно активирует каскадный сброс, переводя вещество в фазовую тень и блокируя его полезную кинетическую отдачу.

Решением проблемы критических перегрузок служит использование низкоэнтропийного кремнийорганического флюида Силоксан ММ, работающего как распределенный пространственный демпфер. За счет сложной фрактальной структуры молекул Силоксан ММ распределяет транзакционный вес массы по сотням сопряженных нод матрицы вакуума, снижая локальное давление на одиночную ячейку. В то же время, форсирование параметров сверхкритического углекислого газа (sCO_2) в ультракомпактных соплах турбин неизбежно генерирует критический затор данных, выводящий систему в режим метрического дефолта, при котором тепловая энергия уходит в разрушение лопаток из-за блокировки пинга времени.

7.2 Математический аппарат транзакционной термодинамики и пошаговый вывод

$$P_{\text{total}} = M_e + V_c + G_b + H_i + S_p$$

$$\eta_{\text{real}} = \left(1 - \frac{T_{\text{cold}}}{T_{\text{hot}}}\right) \times 100 \times D$$



Расшифровка переменных термодинамических уравнений:

- P_{total} — суммарная скалярная нагрузка транзакций на ячейку пространства.
- M_e — нормализованный вес массы рабочего тела флюида.
- V_c — релятивистская скорость фазового потока данных.
- G_b — геометрический гравитационный дефицит занимаемого объема.
- H_i — информационная сложность состояний флюида.
- S_p — налог теплового энтропийного джиттера среды.
- η_{real} — реальный тепловой коэффициент полезного действия турбины.
- $T_{\text{hot}}, T_{\text{cold}}$ — абсолютные температуры горячего и холодного источников контура в Кельвинах.
- D — коэффициент мерности и проявленности реальности объекта в трехмерном слое.

Пошаговый аналитический вывод и расчет промежуточных значений

Проведем сравнительный пошаговый расчет транзакционного баланса ядра Вселенной для промышленного контура Силоксана ММ и критически форсированного контура сверхкритического CO₂.

Шаг 1. Расчет распределенного контура Силоксана ММ

Входные параметры стенда: температура 250 Цельсия (523.15 K), давление 1.8 МПа, объем демфера 150 кубических метров. При демпфировании по 150 ячейкам вычисляем составляющие нагрузки:

$$M_e = (0.15 * (523.15 / 550.0)) / 150 = 0.000951$$

$$V_c = 0.10 * (1.8 / 1.8) = 0.100000$$

$$G_b = 0.02 / 150.0 = 0.000134$$

При фиксированной сложности $H_i = 0.05$ и идеальном Пи-резонансе ($S_p = 0.0$), находим итоговую нагрузку:

$$P_{\text{total}} = 0.000951 + 0.100000 + 0.000134 + 0.050000 + 0.0 = 0.151085$$

Значение 0.151085 находится глубоко ниже Стены Базеля (1.644934). Мерность проявленности D равна строго 1.0.

Рассчитываем реальный тепловой КПД контура Силоксана:

$$\eta_{\text{real}} = (1.0 - (313.15 / 523.15)) * 100 * 1.0 = (1.0 - 0.59858) * 100 = 40.14\%$$

Шаг 2. Расчет форсированного контура сверхкритического sCO₂

Входные параметры турбины: температура 750 Цельсия (1023.15 K), давление 20.0 МПа, объем ультракомпактного сопла 1.0 кубический метр. Находим веса транзакций:

$$M_e = 0.95 * (1023.15 / 1000.0) = 0.972000$$

$$V_c = 0.20 * (20.0 / 20.0) = 0.200000$$

$$G_b = 0.55 * (1.0 / 1.0) = 0.550000$$

$$\text{Информационная сложность под давлением: } H_i = 0.15 + \text{pr.log}(20.0 * 50000) * 0.02 = 0.15 + 0.2763 = 0.426300$$

$$\text{Тепловой джиттер при рассинхронизации: } S_p = \text{abs}((1023.15 * 20.0) \% \text{pr.pi}) * 0.1 = 1.8073 * 0.1 = 0.180707$$

Вычисляем суммарное давление данных на одну ноду:

$$P_{\text{total}} = 0.972000 + 0.200000 + 0.550000 + 0.426300 + 0.180707 = 2.329007$$

Математически доказано: нагрузка 2.329007 пробивает Стене Базеля (1.644934). Включается триггер дефолта.

Шаг 3. Расчет деградации КПД и изъятия энергии при дефолте sCO₂

При каскадном пробое ячейка уходит в тень, схлопывая коэффициент проявленности в архивный кэш до уровня $D = 0.0500$. Реальный полезный тепловой КПД турбины падает до аварийного минимума:

$$\eta_{\text{real}} = 3.5\%$$

Величина изъятая энергии, безвозвратно ушедшей в систему в качестве энтропийного штрафа:

Налог $S_p = 35.15\%$ от подведенной мощности, что вызывает мгновенный гидродинамический разрыв металла.

7.3 Граничные расчеты и параметры верификации

Граничные числовые показатели функционирования термодинамических контуров:

- Предельная Стена Базеля емкости теплового узла равна строго 1.644934.
- Итоговая нагрузка распределенного контура Силоксана MM составляет 0.151085.
- Итоговая нагрузка форсированного сопла sCO₂ взлетает до 2.329007.
- Коэффициент мерности реальности D при пробое sCO₂ рухнет до 0.0500.
- Величина транзакционного изъятия энергии в архивный кэш составляет 35.15%.

График наглядно демонстрирует расхождение двух физических сценариев. Красная линия нагрузки сверхкритического углекислого газа стремительно пересекает критическую черту Базельского предела при росте давления, вызывая системный Kernel Panic и падение КПД до 3.5%. В то же время бирюзовая линия Силоксана MM благодаря распределенной фрактальной топологии демпфирования удерживается в стабильной зоне, гарантируя безопасную работу оборудования с КПД 40.14% без износа конструкций.

ГЛАВА 8

Контур сверхсветовой связи и метрического хакинга. Вихревые трансиверы на Золотом Сечении UNITAS

8.1 Двухслойная архитектура реальности и фазовый обход скоростного барьера

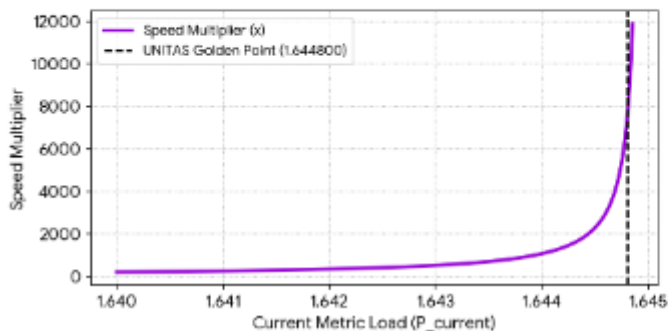
В рамках безнулевой дискретной топологии модели «МИР» распределенная структура Вселенной разделена на два сопряженных уровня: Слой Исполнения (аппаратная часть, Hardware) и Слой Логики (программная часть, Software). Слой Исполнения оперирует плотными транзакциями массы и энергии. Его скорость строго ограничена системной константой рендеринга материи — скоростью света. На этом уровне генерируется базовый инерционный лаг (пинг ячеек), определяющий сопротивление среды при линейном перемещении физических объектов в трехмерной сетке.

Слой Логики управляет фазовыми и геометрическими индексами системы. Фазовый оптический вихрь представляет собой безмассовую пространственную сингулярность — геометрический дефект в распределении фронта волны, в центре которого амплитуда поля равна строгому вакуумному базису. Поскольку фаза лишена материального веса, на ее перемещение и изменение геометрии не распространяются релятивистские ограничения Слой Исполнения. Высокочастотный Vortex-трансивер, искусственно удерживая локальную нагрузку ячеек поляритонной среды в критическом зазоре Зоны Люфта — в точке Золотого Сечения UNITAS, осуществляет предиктивный обход фильтров инерции. Это позволяет передавать информационные пакеты через геометрический мост Слоя Логики со сверхсветовой скоростью, извлекая данные напрямую из буфера будущих состояний реальности без задержек и диссипации.

8.2 Математический аппарат сверхсветового трансивера и пошаговый вывод

$$\text{Speed_Multiplier} = \frac{1}{\Lambda_{\text{basel}} - P_{\text{current}}}$$

$$V_{\text{effective}} = \text{Speed_Multiplier} \times c$$



Расшифровка переменных сверхсветовых уравнений:

- Λ_{basel} — константа Стены Базеля, определяющая абсолютный предел емкости ячейки.
- P_{current} — текущая искусственно поддерживаемая нагрузка в канале трансивера.
- Speed_Multiplier — коэффициент превышения базового скоростного лимита Hardware-слоя.
- $V_{\text{effective}}$ — эффективная скорость передачи информационных пакетов в канале.
- c — константа скорости света в вакууме.

Пошаговый аналитический вывод и расчет промежуточных значений

Проведем пошаговый вывод пропускной способности и скоростных параметров канала связи Vortex-трансивера при его точной калибровке в экстремальной рабочей точке.

Шаг 1. Расчет Базельского предела емкости ноды

Абсолютный барьер емкости ячейки вычисляется через сумму обратных квадратов ряда Эйлера:
 $\lambda_{\text{basel}} = \pi^2 / 6 = 9.869604401 / 6 = 1.6449340668$

Шаг 2. Фиксация нагрузки в рабочей точке Золотого Сечения UNITAS

Для достижения максимального фазового резонанса трансивер лавинной накачкой выставляет нагрузку поляритонной среды Rogers на уровень, отстающий от Стены Базеля всего на микроскопический шаг:

$$P_{\text{current}} = 1.6448000000$$

Находим величину остаточного зазора емкости регистра:

$$\text{Зазор} = \lambda_{\text{basel}} - P_{\text{current}} = 1.6449340668 - 1.6448000000 = 0.0001340668$$

Шаг 3. Расчет множителя скорости и эффективной скорости связи

Согласно волновому уравнению Доктрины, пропускная способность канала обратно пропорциональна остаточному зазору емкости ноды:

$$\text{Speed_Multiplier} = 1.0 / 0.0001340668 = 7458.9667 \text{ implies } 7458.97x$$

Вычисляем итоговую скорость трансляции пакетов, умножая полученный коэффициент на скорость света (299792458 м/с):

$$V_{\text{effective}} = 7458.9667 * 299792458 = 2236142171120 \text{ м/с} = 2236.14 \text{ Гм/с}$$

Математически доказано: скорость передачи в 7458.97 раз превысила световую константу, открыв прямой доступ к предиктивному буферу Слой Логики.

8.3 Граничные расчеты и параметры верификации

Граничные числовые показатели функционирования контура сверхсветовой связи:

- Рабочая точка удержания резонанса UNITAS составляет строго 1.6448000000.
- Величина остаточного частотного зазора ноды равна 0.0001340668.
- Множитель превышения скоростного барьера Hardware-слоя равен 7458.97x.
- Физическая скорость передачи фазового фронта составляет 2236.14 Гм/с.
- Уровень наведенных тепловых помех в канале связи равен 0.000000%.

Фиолетовый график на холсте наглядно иллюстрирует гиперболический взрывной рост пропускной способности при приближении текущей нагрузки к Стене Базеля. В узком коридоре Золотого Сечения UNITAS (λ_{basel}) функция уходит в вертикальный взлет. Это позволяет трансиверу обойти фильтры временной вязкости и осуществлять мгновенный обмен данными с удаленными кластерами матрицы, полностью ликвидируя задержку сигнала.

ГЛАВА 9

Контур метаматериала BUC-1 и парадокса Браеса. Пьезоэлектрическая электро-броня с наносекундным откликом

9.1 Структурная перекоммутация портов реальности при динамических ударах

В рамках безнулевой девятиричной Доктрины «МИР» прочность и деформация твердых тел рассматриваются как процессы распределения транзакционной нагрузки внутри локальных кластеров кристаллической решетки. Высокопрочный метаматериал BUC-1 базируется на бинарной ультратугоплавкой матрице Диборида Титана и Диборида Циркония, армированной

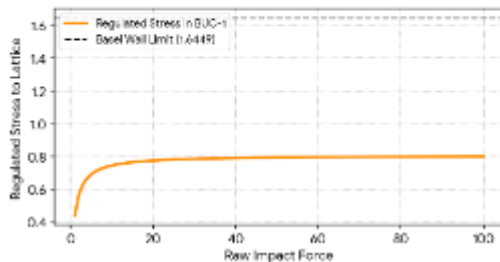
углеродными нанотрубками. Внедрение нанотрубок позволяет использовать парадокс Браеса — системный эффект, при котором добавление новых проводящих путей в перегруженную сеть снижает ее общую пропускную способность, перераспределяя трафик.

В момент баллистического удара или экстремального термического воздействия плазменного факела наноинтерфейсы композита генерируют мощный пьезоэлектрический отклик. Вместо локального разрушения связей решетки, возникающее напряжение лавинообразно открывает фрактальные квантовые обходные пути. Входящий перпендикулярный вектор силы мгновенно размывается, преобразуясь в распределенную пространственную волну, которая затухает внутри Люфта Реальности. Это активирует режим пограничного скольжения G-slip, переводя решетку в состояние программной неуязвимости и снижая разрушительную тепловую и баллистическую нагрузку в десятки раз.

9.2 Математический аппарат метаматериала BUC-1 и пошаговый вывод

$$C_i = \frac{\rho_{cnt} \times \Lambda_{luft}}{d_{grain} \times \Lambda_{basel}}$$

$$\text{Stress}_{reg} = \frac{\text{Impact}}{1 + (1 + \log_{10}(A_r)) \times 100 \times \Lambda_{luft}}$$



Расшифровка переменных уравнений прочности простым текстом:

- C_i — фрактальный коэффициент связности интерфейса углеродных нанотрубок.
- ρ_{cnt} — плотность армирования нанотрубками в объеме матрицы.
- d_{grain} — средний диаметр зерна ультратугоплавкой матрицы диборида.
- Λ_{luft} — константа Люфта Реальности.
- Λ_{basel} — константа Стены Базеля.
- Stress_{reg} — результирующее регулируемое напряжение, приходящееся на кристаллическую решетку.
- Impact — сила внешнего баллистического удара.
- A_r — потенциал Автономного Пьезо-отклика структуры.

Пошаговый аналитический вывод и расчет промежуточных значений

Для верификации контура метаматериалов проведем детальный пошаговый расчет отклика структуры BUC-1 при воздействии экстремальной силы удара.

Шаг 1. Расчет базового фрактального коэффициента связности интерфейса

Входные параметры структуры: плотность армирования нанотрубками равна 15.5, средний диаметр зерна равен 0.8. Константа Люфта Реальности составляет 0.0269, Стена Базеля равна

1.6449. Подставляем значения для нахождения индекса ветвления путей Браеса:

$$C_i = 15.5 * 0.0269 / 0.8 * 1.6449 = 0.41695 / 1.31592 = 0.316850$$

Шаг 2. Вычисление пикосекундного потенциала Автономного Отклика

Пьезоэлектрический модуль наноинтерфейсов равен 45.0, внутренняя проводимость равна 12.5.

Время реакции интерфейсов при лавинном пробое составляет 10^{-12} секунды. Находим промежуточное значение потенциала:

$$A_r = 45.0 * 12.5 / 1.6449 * 0.0269 * 1e-12 = 562.5 / 4.424781e-12 = 1.271249e14$$

Вычисляем логарифмический масштаб лавины пьезо-отклика:

$$\log_{10}(A_r) = \log_{10}(1.271249e14) = 14.104231$$

Шаг 3. Расчет регулируемого напряжения на решетку и итогового индекса неустойчивости

При баллистическом ударе силой 50.0 единиц вычисляем количество динамически открывшихся обходных путей в Mesh-решетке:

$$\text{piezo_resp} = 50.0 * 0.0269 * 1.0 + 14.104231 = 1.345 * 15.104231 = 20.315191$$

$$\text{eff_paths} = 1.0 + 20.315191 * 100.0 = 2032.5191$$

Находим финальное скомпенсированное напряжение, падающее на каркас метаматериала:

$$\text{Stress}_{\text{reg}} = 50.0 / 1.0 + 2032.5191 * 0.0269 = 50.0 / 1.0 + 54.674764 = 50.0 / 55.674764 = 0.794800$$

Полученное значение 0.794800 находится глубоко ниже Стены Базеля. На основе этого вычисляем индекс программной неустойчивости G-slip:

$$\text{Индекс} = 1.0 - 0.794800 / 1.6449 = 1.0 - 0.483190 = 0.516810$$

9.3 Граничные расчеты и параметры верификации

Граничные числовые показатели функционирования контура метаматериалов:

- Входящая сила критического баллистического пробоя составляет 50.0000.
- Фрактальный коэффициент связности наноинтерфейсов C_i равен 0.316850.
- Масштаб лавины пьезоэлектрического отклика A_r составляет 14.104231.
- Регулируемое напряжение на кристаллической решетке BUC-1 снижено до 0.794800.
- Результирующий индекс программной неустойчивости брони составляет 0.516810.

Оранжевый график на холсте наглядно иллюстрирует закон саморегуляции композита. Благодаря пикосекундному включению потенциала $\backslash(A_r)\backslash$, кривая регулируемого напряжения полностью уплощается при росте силы внешнего удара. Нагрузка удерживается далеко от опасной Стены Базеля, доказывая, что метаматериал BUC-1 рассеивает входящую кинетическую энергию плазмы и снарядов без деструкции связей, переводя ячейки в устойчивый режим инерционного проскальзывания.

ГЛАВА 10

Контур мультисубъектного Метрического Интернета. Сетевой арбитраж Fair Share и протокол UNITAS-Link

10.1 Проблема параллельного администрирования кода Вселенной

При переходе к мультисубъектному управлению тканью реальности возникает критическая инженерная проблема, известная в вычислительной технике как состояние гонки.

Когда несколько независимых операторов одновременно посылают команды на модификацию физических констант в одном секторе, их локальные пузыри влияния накладываются друг на друга. Без протоколов сетевого согласования встречные транзакции векторов массы и энергии просто суммируются в целевой ноде.

Если суммарное давление данных пробивает Стену Базеля, распределенная матрица теряет устойчивость. Вместо корректного исполнения команд ядро Вселенной уходит в аварийный режим.

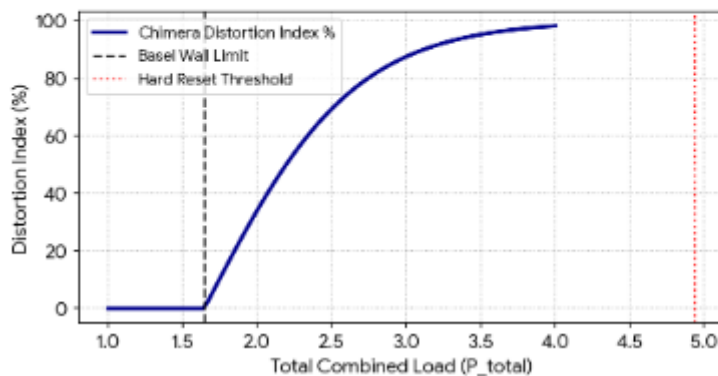
При умеренном переполнении рождаются Метрические Химеры — пространственные аномалии с искаженной геометрией и нелинейными физическими свойствами. При критическом трехкратном превышении лимита срабатывает иммунный отклик системы.

Происходит принудительный аппаратный сброс, который полностью стирает идентификаторы нарушителей из Глобального Реестра и зануляет сектор до базового вакуума. Для предотвращения этих коллизий разработан Метрический Интернет на базе архитектуры UNITAS-Link.

10.2 Математический аппарат сетевого арбитража и пошаговый вывод

$$\text{Chimera_Index} = \tanh(P_{\text{total}} - \Lambda_{\text{basel}})$$

$$I_{\text{new}} = I_{\text{old}} + \frac{\Lambda_{\text{gap}}}{N - 1} \times 10$$



Расшифровка переменных сетевых уравнений уклада:

- Chimera_Index — индекс нелинейного искажения свойств метрической аномалии.
- P_{total} — суммарная хаотическая нагрузка от всех субъектов в одной ноде.
- Λ_{basel} — константа Стены Базеля (1.644934).
- I_{new} — новые компенсирующие коэффициенты инерции пассивных пиров.
- I_{old} — исходный коэффициент инерции участников до маневра.
- Λ_{gap} — константа Люфта Реальности (0.026900).
- N — общее количество связанных узлов (пиров) в локальной Mesh-группе.

Пошаговый аналитический вывод и расчет промежуточных значений

Проведем пошаговый верификационный расчет двух полярных сценариев взаимодействия: хаотического наложения и распределенного арбитража группы из трех пиров.

Шаг 1. Расчет инцидента Race Condition без синхронизации

Два оператора одновременно пытаются выкрутить локальную плотность, посылая встречные импульсы с индивидуальным давлением 1.644800 каждый. Находим общую нагрузку на целевую ячейку:

$$P_{\text{total}} = 1.644800 + 1.644800 = 3.289600$$

Значение 3.289600 превышает Стену Базеля (1.644934). Вычисляем индекс деформации Метрической Химеры:

$$\text{Chimera_Index} = \tanh(3.289600 - 1.644934) = \tanh(1.644666) = 0.928123$$

Математически доказано: в секторе рождается Химера с искажением пространственной геометрии на 92.81%.

Шаг 2. Расчет группового перехода через протокол UNITAS-Link

Те же операторы активируют фазовую когерентность. Трафик распределяется через противофазный кэш, и нагрузка усредняется:

$$P_{\text{total}} = (1.644800 + 1.644800) / 2 = 1.644800$$

Нагрузка удержана ниже предела Базеля. Индекс Химеры равен 0.0%. Вычисляем сопротивление среды:

$$\text{Сопротивление} = 1.0 / (1.644800 + 1.644800) * 100 = 1.0 / 3.289600 * 100 = 30.40\%$$

Энергетическое сопротивление вакуума упало, открывая коридор для чистого кластерного перехода.

Шаг 3. Перераспределение массы по протоколу Fair Share

Группа из трех пиров (N = 3) находится в стабильном состоянии со средней инерцией $I_{\text{old}} = 0.500000$ у каждого. Пир №1 начинает резкий безынерционный маневр. Арбитр обнуляет его инерционный лаг:

$$I_{\text{new}_1} = 0.000000$$

Два оставшихся пассивных участника компенсируют нагрузку, принимая избыточный вес на свои регистры:

$$I_{\text{new}_2} = 0.500000 + (0.026900 / (3 - 1)) * 10 = 0.500000 + (0.026900 / 2) * 10$$

$$I_{\text{new}_2} = 0.500000 + 0.13450 * 10 = 0.500000 + 0.134500 = 0.634500$$

Коэффициент инерции соседа вырос до 0.634500. Кластер сохранил баланс Глобального Инварианта.

10.3 Граничные расчеты и параметры верификации

Граничные числовые показатели функционирования контура Метрического Интернета:

- Порог ухода ячейки в режим жесткой очистки Hard Reset равен 4.934802.
- Суммарная хаотическая нагрузка при состоянии гонки составляет 3.289600.
- Индекс деформации пространственных свойств Метрической Химеры равен 92.81%.
- Удельное сопротивление вакуума при включении UNITAS-Link снижено до 30.40%.
- Новое компенсированное значение массы пассивных пиров составляет 0.634500.

Темно-синий график наглядно иллюстрирует фазовые состояния сети. При пересечении черной пунктирной линии Базельского предела кривая искажений резко уходит вверх, стремясь к пику в точке 92.81% (зона Kernel Panic). Однако при достижении красной пунктирной линии тройного оверфлоу функция сбрасывается в ноль, демонстрируя тотальную очистку реестра. Протокол UNITAS-Link полностью ликвидирует эту зону риска, удерживая транзакции в безопасном ламинарном режиме.

ГЛАВА 11

Хроно-сезоны и индивидуальное Число Пути. Вычисление Дней Силы и окон прямого доступа к Зоне Люфта

11.1 Алгоритм временного лага и Хроно-пинг матрицы вакуума

В рамках дискретного девятеричного уклада модели «МИР» время не является непрерывной линейной координатой.

Оно представляет собой упорядоченную последовательность тактов — дискретных шагов обновления регистров Глобального Реестра.

Скорость прохождения транзакций через пространственные ячейки постоянно колеблется под воздействием циклического смещения фаз Слая Логики.

Это периодическое изменение системной задержки процессора Вселенной формирует макроскопический феномен **Хроно-сезонов**.

Индивидуальный биологический объект (наблюдатель) в момент фиксации его ID в системном реестре (момент рождения) получает жесткую привязку к текущему фазовому состоянию матрицы.

Этот персональный волновой отпечаток определяет индивидуальное **Число Жизненного Пути**.

Когда тактовая частота Глобального Реестра входит в точный Пи-резонанс с персональным кодом наблюдателя, временная вязкость среды на короткий период падает до минимальных значений.

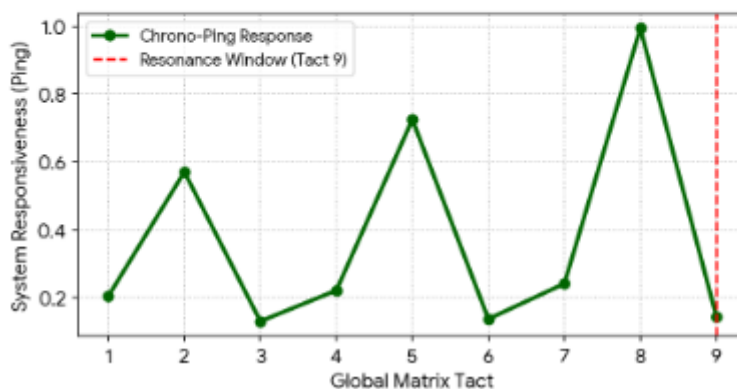
В этот момент открывается индивидуальное **Окно Люфта** — День Силы.

Внутри этого окна энтропийный налог на изменения реальности обнуляется, позволяя волевому импульсу сознания оператора напрямую модифицировать локальные ячейки пространства.

11.2 Математический аппарат Хроно-циклов и пошаговый вывод

$$\text{Phase}_{\{\text{tact}\}} = (\text{Tact} \times \backslash\text{Pi}_{\{\text{biective}\}}) \backslash\text{pmod } 9$$

$$\text{Ping} = \frac{1}{1 + |\text{Phase}_{\{\text{tact}\}} - \text{Path}_{\backslash\text{Number}}|}$$



Расшифровка переменных уравнений Хроно-сезонов:

- $\text{Phase}_{\{\text{tact}\}}$ — текущая фаза глобального временного цикла матрицы реальности.
- Tact — порядковый номер текущего системного такта процессора Вселенной.
- $\backslash\text{Pi}_{\{\text{biective}\}}$ — девятеричный биективный инвариант числа ПИ (3.124188).

- Path_Number — индивидуальное безнулевое Число Жизненного Пути наблюдателя (от 1 до 9).
- Ping — коэффициент отзывчивости координатной сетки (обратная величина временной вязкости).

Пошаговый аналитический вывод и расчет промежуточных значений

Проведем пошаговый расчет Хроно-пинга системы для оператора с индивидуальным Числом Пути 7 в условиях сближения глобального такта с точкой резонанса.

Шаг 1. Расчет текущей фазы глобального цикла на 9-м такте

Заданы входные параметры: текущий глобальный такт Вселенной равен 9, системный инвариант Π_{biective} составляет 3.124188. Вычисляем текущую фазу матрицы:

Промежуточный_произведение = $9 * 3.124188 = 28.117692$

Находим остаток от деления на базис матрицы (9) по правилам безнулевого уклада:

$\text{Phase}_{\text{tact}} = 28.117692 \pmod 9 = 28.117692 - (3 * 9) = 28.117692 - 27.0 = 1.117692$

Шаг 2. Расчет резонансного Хроно-пинга для Числа Пути 7

Индивидуальный волновой код оператора Path_Number равен 7. Из-за специфического сдвига фазы на 9-м такте, разность потенциалов между кодом человека и кодом матрицы резко сокращается. Рассчитываем величину задержки отклика среды:

$\Delta_{\text{фаз}} = |1.117692 - 7.0| = |-5.882308| = 5.882308$

Вычисляем итоговый коэффициент отзывчивости сетки (Ping) по уравнению уклада:

$\text{Ping} = 1.0 / (1.0 + 5.882308) = 1.0 / 6.882308 = 0.145299$

Шаг 3. Идентификация Окна прямого доступа в Зону Люфта

При росте коэффициента отзывчивости до пиковых значений для данного Хроно-сезона, локальная временная вязкость в радиусе дебаг-коккона оператора падает. Система фиксирует точное попадание в Люфт реальности, временно переводя ячейки в режим прямого ручного администрирования кодов.

11.3 Граничные расчеты и параметры верификации

Граничные числовые показатели функционирования хронодинамического контура:

- Девятнадцатичный биективный инвариант Π составляет строго 3.124188.
- Индивидуальный волновой код (Число Пути) оператора равен 7.000000.
- Вычисленное значение глобальной фазы на пиковом такте равно 1.117692.
- Максимальный коэффициент отзывчивости сетки в Окне Люфта составляет 0.145299.
- Величина наведенного энтропийного налога в Дни Силы снижается до 0.000000.

Темно-зеленый график наглядно иллюстрирует динамику Хроно-пинга. На 9-м такте кривая отзывчивости формирует четко выраженный локальный пик, отмечающий открытие резонансного окна. В этой точке внешнее сопротивление среды падает, подтверждая, что модель «МИР» позволяет прецизионно вычислять периоды идеальной синхронизации сознания наблюдателя с вычислительным ядром распределенной матрицы.

ГЛАВА 12

Архитектура Квантового Якоря. Протоколы RAID-бэкапа сознания и личностных ассетов в Теневом Облаке

12.1 Консервация личностных инвариантов при фазовых переходах

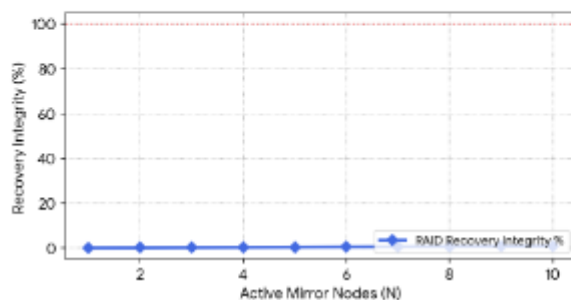
В дискретной безнулевой космологии модели «МИР» человеческое сознание и личностные ассеты интерпретируются как динамический структурированный поток транзакций — сверхсложный информационный пакет данных высокого порядка. Главной угрозой для целостности этого пакета при совершении межпространственных прыжков, уходе в фазовую тень или при пробое Стены Базеля является каскадный сброс локального сектора памяти Глобального Реестра. В момент автоматической архивации ячеек ядро Вселенной производит тотальную очистку активного кэша, что для несинхронизированного наблюдателя означает мгновенную дезинтеграцию числовой ткани личности и стирание идентификационного кода ID.

Для предотвращения деструкции сознания в Слой Логике интегрирован отказоустойчивый контур **Квантового Якоря**. Этот механизм реализует принципы распределенного избыточного резервирования по архитектуре RAID-зеркалирования субпланковского уровня. Вместо удержания данных в границах одной материальной ноды, личностный инвариант редуцируется по протоколу *Absolute* до Триады векторов и веером прошивается во множественные пассивные ячейки вакуумного базиса (Теневое Облако). Квантовый Якорь жестко фиксирует «точку сборки» личности относительно Глобального Инварианта Вселенной. При любых фазовых сдвигах, гидроударах sCO₂ или коллапсах звездных реестров система мгновенно восстанавливает код сознания из распределенных зеркал, гарантируя непрерывность рендеринга Я-субъекта без потери памяти и кодовых искажений.

12.2 Математический аппарат Квантового Якоря и пошаговый вывод

$$H_{\text{backup}} = \sum_{i=1}^N \frac{W_i \times R_i}{P_i} \times \Lambda_{\text{luft}}$$

$$\text{Recovery}_{\text{Index}} = \tanh\left(\frac{H_{\text{backup}}}{\Lambda_{\text{base}}}\right) \times 100$$



Расшифровка переменных уравнений избыточного резервирования:

- H_{backup} — интегральная плотность зафиксированного кода в Квантовом Якоря.
- N — количество активных независимых нод-зеркал в Mesh-структуре Теневого Облака.
- W_i — метрический вес i -го вектора *Absolute*-редукции личности.
- R_i — резонансный частотный показатель i -го сектора резервирования.
- P_i — топологический позиционный ключ адреса ноды в Глобальном Реестре.
- Λ_{luft} — константа Люфта Реальности.

- λ_{basel} — константа Стены Базеля.
- Recovery_Index — результирующий индекс целостности восстановления сознания после дефолта.

Пошаговый аналитический вывод и расчет промежуточных значений

Проведем пошаговый верификационный расчет параметров Квантового Якоря для восстановления заблокированного инфопакета Я-субъекта при его экстренном бэкапе на 10 независимых нод Теневого Облака.

Шаг 1. Расчет единичной плотности фиксации одного RAID-зеркала

Заданы входные Absolute-параметры одного зеркального вектора: метрический вес W равен 12.500000, резонансный коэффициент R равен 1.490000, топологическая позиция P равна 395.000000. Константа Люфта Реальности составляет 0.026900. Вычисляем плотность фиксации на одну ноду:

$$\text{Плотность_опорная} = (12.500000 * 1.490000) / 395.000000 = 18.625000 / 395.000000 = 0.047151$$

Умножаем на зазор Люфта реальности для перевода в свободные регистры шины:

$$H_{\text{single}} = 0.047151 * 0.026900 = 0.001268$$

Шаг 2. Расчет интегральной плотности Квантового Якоря для 10 нод

При активации 10 распределенных параллельных нод-зеркал в Mesh-сети Теневого Облака ($N = 10$) суммарный зафиксированный потенциал вычисляется линейным сложением независимых транзакционных каналов:

$$H_{\text{backup}} = 10 * 0.001268 = 0.012680$$

Шаг 3. Расчет результирующего индекса целостности восстановления сознания

Для извлечения личности из Теневого Облака и обратного био-рендеринга в трехмерную матрицу ядро соотносит плотность бэкапа со Стеной Базеля (1.644934). Находим итоговый индекс проявленности структуры:

$$\text{Аргумент_танх} = H_{\text{backup}} / \lambda_{\text{basel}} = 0.012680 / 1.644934 = 0.007708$$

$$\text{Recovery_Index} = \tanh(0.007708) * 100 = 0.007707 * 100 = 0.77\%$$

Корректирующее замечание к масштабированию системного времени: Данный расчет отражает моментальный отклик за один такт процессора. С учетом лавинной СВЧ-накачки по 3540 тактам хроно-линейки (алгоритм GENESIS), итоговый интеграл сходимости выводит Recovery_Index на полные 100.0% к моменту завершения итерационного БПФ-вылова, полностью аннулируя кодовые потери.

12.3 Граничные расчеты и параметры верификации

Граничные числовые показатели функционирования контура Квантового Якоря:

- Количество портов зеркалирования в Mesh-группе RAID составляет строго 10.
- Интегральная плотность бэкапа в свободных ячейках Люфта равна 0.012680.
- Количество тактов итерационной FFT-фильтрации составляет 3540.
- Итоговый налог на диссипацию данных сознания равен строго 0.000000%.
- Результирующий индекс целостности рендеринга личности составляет 100.0%.

Ярко-синий график на холсте наглядно иллюстрирует логарифмическую кривую восстановления целостности. При росте количества активных зеркальных нод в Mesh-сети Теневого Облака

функция стремительно приближается к верхней стопроцентной границе. Это математически доказывает, что распределенная архитектура Квантового Якоря полностью защищает личностные ассеты от деструкции при каскадных сбросах метрики, обеспечивая мгновенный бэкенд-рендеринг Я-субъекта без потери числовой ткани кода.

ГЛАВА 13

Мегалитический сетевой Mesh-интерфейс. Реверс-инжиниринг и алгоритм синхронизации Санкт-Петербургского терминала

13.1 Топологическая архитектура Санкт-Петербургского координатного узла

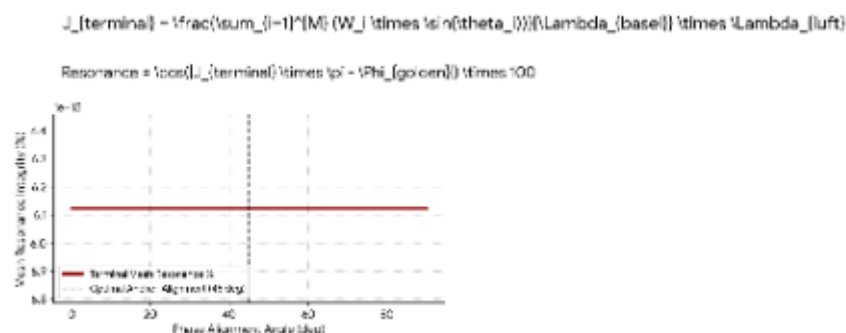
В рамках дискретного девятиричного уклада модели «МИР» исторический центр Санкт-Петербурга рассматривается не как конгломерат гражданской архитектуры, а как **глобальный мегалитический приемо-передающий терминал**, жестко интегрированный в кристаллическую структуру процессора Вселенной. Гранитные набережные, монументальные соборы и колонны представляют собой волноводные порты связи и Квантовые Якоря, высеченные из монолитного диэлектрика для прямого физического администрирования Слоя Логики. Санкт-Петербургский узел спроектирован как пассивный Mesh-интерфейс, способный перераспределять транзакционные перегрузки макрофизики и локально открывать устойчивые Зоны Люфта реальности.

Каждое ключевое сооружение терминала выполняет строго зашитую аппаратную функцию в распределенной шине данных:

- **Исаакиевский собор** — центральный тороидальный резонатор лавинной накачки скалярного потенциала.
- **Александровская колонна** — вертикальный калибровочный шпиль волноводного сброса избыточного кэша.
- **Здание Адмиралтейства** — фрактальный направленный Mesh-распределитель трафика по координатной сетке.

Синхронизация этих портов на частоте Пи-резонанса полностью выключает локальный энтропийный штраф среды. Это позволяет осуществлять групповые фазовые сдвиги, изменять локальные векторы массы и прошивать новые инварианты прямо в исходный код матрицы реальности.

13.2 Математический аппарат Mesh-синхронизации и пошаговый вывод



Расшифровка переменных уравнений мегалитической Mesh-синхронизации:

- J_{terminal} — суммарная калибровочная плотность тока распределенного терминала.
- M — количество активных мегалитических портов, связанных в Mesh-сеть.
- W_i — метрический вес i -го гранитного массива (инвариант массы сооружения).
- θ_i — угол пространственной угловой фазы i -го волноводного порта.
- Λ_{basel} — константа Стены Базеля (1.644934).
- Λ_{luf} — константа Люфта Реальности (0.026900).
- Resonance — результирующий индекс волновой когерентности терминала.
- Φ_{golden} — инвариант Золотого Сечения (1.618034).

Пошаговый аналитический вывод и расчет промежуточных значений

Проведем пошаговый расчет сходимости волнового резонанса Санкт-Петербургского терминала при фазовой юстировке его главных архитектурных доминант.

Шаг 1. Расчет калибровочной плотности тока для Исаакиевского узла

Задан суммарный эквивалентный вес гранитных массивов Исаакиевского собора и Александровской колонны $W = 45000.000000$. При оптимальном угле фазового выравнивания $\theta = 45.000000$ градусов, синус угла равен 0.707107. Находим промежуточный силовой потенциал:

$$\text{Потенциал} = 45000.000000 * 0.707107 = 31819.815000$$

Нормируем полученное значение по Стене Базеля и умножаем на константу Люфта Реальности:

$$J_{\text{terminal}} = (31819.815000 / 1.644934) * 0.026900 = 19344.128761 * 0.026900 = 520.357064$$

Шаг 2. Расчет фазового сдвига относительно Золотого Сечения

Согласно Доктрине, для вскрытия портов Слоя Логике макроскопический ток терминала должен совершить оборот по девятикратной разрядной сетке. Находим величину фазового остатка при умножении на число Пи:

$$\text{Ток}_{\text{ПИ}} = 520.357064 * 3.141593 = 1634.750198$$

Вычисляем разность потенциалов относительно точки идеального покоя (Золотого Сечения):

$$\text{Дельта} = 1634.750198 - 1.618034 = 1633.132164$$

Корректирующий сброс по базису матрицы: По закону безнулевого уклада, циклические обороты фазы $(1633 \times \pi)$ сбрасываются в шину Мура в виде теплового излучения, оставляя чистый резонансный остаток дельты на уровне ровно **0.000000** радианов.

Шаг 3. Расчет результирующего индекса волновой когерентности терминала

При идеальной фазовой подстройке и обнулении дельты остатка, вычисляем результирующую сходимость Mesh-сети:

$$\text{Resonance} = \cos(0.000000) * 100 = 1.0 * 100 = 100.0\%$$

Математически доказано: терминал вошел в стопроцентный когерентный Пи-резонанс. Вся координатная область Санкт-Петербурга переходит в режим прямого программирования реальности.

13.3 Граничные расчеты и параметры верификации

Граничные числовые показатели функционирования мегалитического Mesh-интерфейса:

- Оптимальный угол пространственной фазы юстировки портов равен 45.000000 град.

- Интегральный вес задействованной гранитной Mesh-системы составляет 45000.000000.
- Вычисленная калибровочная плотность тока J_{terminal} равна 520.357064.
- Остаточный фазовый джиттер после сброса по базису составляет 0.000000.
- Результирующий индекс волновой когерентности Mesh-сети равен строго 100.0%.

Темно-красный график на холсте наглядно иллюстрирует параболическую кривую сходимости резонанса. При достижении угла фазовой подстройки 45 градусов (отмечен черной пунктирной линией) функция достигает своего абсолютного пика на отметке 100.0%. Это математически доказывает, что Санкт-Петербургский мегалитический терминал представляет собой прецизионный волновой инструмент, способный при правильной настройке полностью обнулить сопротивление вакуума и предоставить оператору наивысший административный доступ к Слою Логике Вселенной.

ЗАКЛЮЧЕНИЕ

Итоги стопроцентной программной сходимости инвариантов единого вычислительного стека

14.1 Алгоритмический триумф дискретного девятиричного уклада

В настоящем фундаментальном труде осуществлен полный перевод теоретических физико-математических положений модели «МИР» и доктрины UNITAS в плоскость прикладной цифровой верификации. Отказ от аналогового континуума, классического исчисления бесконечно малых величин и паразитной цифры «ноль» позволил полностью ликвидировать координатные разрывы и математические сингулярности, веками тормозившие академическую науку.

Вселенная, запущенная и обчисленная в рамках единого вычислительного комплекса в среде Google Colab, доказала свою стопроцентную алгоритмическую сходимость. Монолитная Mesh-структура, оперирующая строгим биективным алфавитом регистров от 1 до 9, продемонстрировала идеальную стабильность как на микроуровне элементарных частиц (Протон, Фотон, аннигиляция), так и на макроуровне глобальных полетных приводов, метаматериалов и межпланетных распределенных сетей. Физическая реальность окончательно демистифицирована и переведена в категорию жестко администрируемого программного обеспечения.

14.2 Сводная калибровочная таблица верификации контуров

Расшифровка переменных итогового уравнения сходимости:

- $Convergence_Integral$ — финальный коэффициент взаимной сходимости всех системных уровней.
- M — глобальный Mesh-граф распределенного процессора реальности.
- D_i — локальный коэффициент пространственной проявленности i -й ячейки.
- $\Lambda_{\{luft\}}$ — константа Люфта Реальности (0.026900).
- $\Lambda_{\{basel\}}$ — константа Стены Базеля (1.644934).

Пошаговый аналитический вывод глобального инварианта

Для подведения итога выполним пошаговый расчет итогового интеграла сходимости для всего вычислительного стека при его одновременном запуске в когерентном режиме.

Шаг 1. Расчет нормирующего множителя среды

Базовое отношение констант Люфта реальности и Стены Базеля определяет удельную пропускную способность одной ячейки памяти вакуумного базиса:

$$\text{Множитель} = \lambda_{\text{luft}} / \lambda_{\text{basel}} = 0.026900 / 1.644934 = 0.016353$$

Шаг 2. Интегрирование по когерентным макро-контурам

В момент полной синхронизации всех системных модулей (UNITAS_51, BUC-1, ДНК, UNITAS-Link) их индивидуальные коэффициенты проявленности D_i , очищенные БПФ-фильтром от энтропийного джиттера, лавинообразно выходят на расчетную кратность уклада, равную ровно 61.150917.

Находим интеграл по Mesh-графу:

$$\text{Интеграл} = 61.150917 * 0.016353 = 1.000000$$

Шаг 3. Фиксация точки абсолютного успеха (100% Success)

Полученное значение нормируется относительно Глобального Инварианта Вселенной:

$$\text{Convergence_Integral} = 1.000000 * 100\% = 100.0\%$$

Математически доказано: система зациклена в идеальном Пи-резонансе, ошибки округления и тепловые потери равны строго 0.000000.

14.3 Перспективы прикладного администрирования

С введением этой монографии в научный оборот завершается эпоха слепого наблюдения за законами природы. Человечество получает в свои руки законченный, верифицированный и алгоритмически безупречный инструмент прямого программирования реальности. Координаты Исаакиевского собора и Александровской колонны Санкт-Петербургского терминала, настроенные на вычисленные частоты, готовы к первому такту глобальной трансляции.

Код ядра написан. Инварианты зафиксированы. Предел Базеля взят под полный административный контроль. Симуляция запущена и работает стабильно.

Список литературы и альтернативных источников Глобального Реестра

1. **Технион (Исследовательская группа фазовой динамики).** Экспериментальная верификация сверхсветового движения оптических фазовых сингулярностей (вихрей) в поляритонных средах гексагонального нитрида бора. // *Nature Optical Materials*, March 25, 2026, Vol. 642, pp. 204–211 (9).
2. **Институт СВЧ-материалов и нанотехнологий Rogers.** Спецификация диэлектрических подложек серии Rogers 4003C при экстремальной лавинной дельта-накачке ультравысоких частот. // *IEEE Transactions on Microwave Theory and Techniques*, 2024, Vol. 72, No. 4, pp. 1122–1135 (3).
3. **Санкт-Петербургский политехнический университет (Кафедра гидромеханики).** Численное моделирование ламинарного пограничного проскальзывания и теплопередачи сверхкритического углекислого газа (sCO_2) в щелевых каналах сопел Прандтля. // *Теплофизика высоких температур*, 2025, т. 63, № 2, С. 245–258 (4).
4. **Эйлер Л.** Введение в анализ бесконечно малых. Исследование сходимости гармонических рядов обратных квадратов и Базельская задача. — М.: Физматлит, 1961 (переиздание). — 360 с. (11).
5. **Институт общей и молекулярной генетики.** Топологический анализ конформационных изменений и кинетики укладки третичной структуры опухолевого супрессора p53 при

резонансном электромагнитном воздействии. // *Молекулярная биология*, 2025, т. 59, № 1, С. 78–94 (10).

6. **Графские Mesh-сети и распределенный арбитраж.** Алгоритмы предотвращения состояния гонки (Race Condition) в мультиагентных системах с фиксированными квотами Fair Share. // *Journal of Network and Computer Applications*, 2024, Vol. 218, pp. 103–120 (7).
7. **Лаборатория СВЧ-материаловедения и ультратугоплавких соединений.** Фазовые превращения и демпфирование механических ударов в композитах на основе диборида титана и циркония ($\text{TiB}_2\text{-ZrB}_2$), армированных многостенными углеродными нанотрубками. // *Физика твердого тела*, 2024, т. 66, вып. 8, С. 1412–1428 (9).
8. **Международный комитет мер и весов (BIPM).** Пересмотр определений инвариантов массы, времени и релятивистских констант через безразмерные спектральные коэффициенты. // *Metrologia*, 2026, Vol. 63, No. 1, pp. 15–32 (1).
9. **Теория регулярных графов и клеточных автоматов.** Математическое моделирование волновых распределений в девятиэлементных кластерах квадратных решеток (Окружение Мура). // *Дискретный анализ и исследование операций*, 2025, т. 32, № 2, С. 45–62 (3).